



## بررسی تحمل به شوری در برخی ارقام کلزا با استفاده از صفات مورفووفیزیولوژیک و نشانگرهای ISSR

علی اصغری<sup>۱</sup>, شیوا محمدنیا<sup>۲</sup> و هاجر فلاحتی<sup>۳</sup>

۱- دانشیار، دانشکده علوم کشاورزی، دانشگاه محقق اردبیلی، (نویسنده مسؤول: ali\_asgharii@yahoo.com)  
۲- دانشجوی دکترای و کارشناس ارشد، دانشکده علوم کشاورزی، دانشگاه محقق اردبیلی  
تاریخ دریافت: ۹۴/۰۲/۲۷  
تاریخ پذیرش: ۹۵/۰۹/۲۳

### چکیده

کلزا (*Brassica napus* L.) یکی از مهم‌ترین گیاهان روغنی جهان محسوب می‌شود. از طرفی خاک‌های شور و شوری آب آبیاری از مهم‌ترین عوامل تنفس زای محیطی در تولید کلزا می‌باشدند. به‌منظور بررسی تحمل به شوری ارقام کلزا در مرحله گیاهچه از لحاظ صفات مورفووفیزیولوژیک و بررسی ارتباط این صفات با نشانگرهای ISSR، دانشکده علوم کشاورزی، دانشگاه محقق اردبیلی ۱۵۰ میلی‌مولاًر و ۲۵۰ میلی‌مولاًر و شرایط بدون تنفس به صورت آب کشت در شرایط گلخانه‌ای مورد بررسی قرار گرفتند. در این مطالعه تنفس شوری موجب کاهش اکثر صفات موردنظر ارزیابی در ارقام کلزا به جز محتوای سدیم و نسبت سدیم به پتاسیم شد. نتایج مقایسه میانگین و تجزیه خوش‌های نشان داد که رقم‌های SLMO46 و PF از نظر اکثر صفات در شرایط مختلف موردنظر بررسی نسبت به بقیه ارقام برتر بوده در حالی که، ارقام Hayola60 و Licord کمترین مقدار را به خود اختصاص دادند. در بررسی مولکولی با استفاده از ۱۱ آغازگر ISSR، ۴۵ نوار چندشکل در ارقام مورد مطالعه کلزا تولید شد. میانگین محتوای اطلاع چندشکلی و شاخص نشانگری برای کلیه آغازگرها به ترتیب  $0.08 \pm 0.01$  به دست آمد. در تجزیه خوش‌های با استفاده از داده‌های ISSR و فاصله ژنتیکی نی، ارقام کلزا به سه گروه تقسیم شدند. کمترین فاصله ژنتیکی بین دو رقم Zarfam و Jewel ( $0.079 \pm 0.004$ ) و بیشترین فاصله بین ارقام Quantum و Hyola60 ( $0.032 \pm 0.004$ ) به دست آمد.

واژه‌های کلیدی: تنفس، شوری، کلزا، صفات مورفووفیزیک، نشانگر مولکول

### مقدمه

عوامل اصلی کاهش رشد گیاهان در شرایط شوری می‌باشد. با توجه به نقش اساسی پتاسیم در فعالیت‌های مختلف فیزیولوژیکی و بیوشیمیایی گیاه نظیر باز و بسته شدن روزنه‌ها، تنظیم اسمزی، فعال کردن آنزیم‌های مختلف، افزایش هیدراسیون، اثر کلوفیلی و دخالت در نقل و انتقال مواد، کاهش آن مانع از رشد و نمو طبیعی گیاه می‌شود (۲۶). هنگامی که گیاه در شرایط شور رشد می‌کند فعالیت فتوستراتری آن کاهش می‌یابد و در نتیجه میزان رشد، سطح برگ و محتوای کلروفیل کاهش و فلورسانس کلروفیل افزایش می‌یابد (۴۳). در بررسی گیاه گندم (۳)، شنبیله (۵)، گونه‌های مختلف براسیکا (۷) و نیز ارقام مختلف کلزا (۱۰) ارتباط مستقیمی بین فتوستراتر و مقدار ماده حشک حاصل در شرایط تنفس شوری گزارش شده است.

با توجه به این که صفات مورفووفیزیکی و فیزیولوژیکی در تمام مراحل رشد گیاه قبل از اندازه‌گیری نمی‌باشدند، در سال‌های اخیر زیست شناسی مولکولی ابزارهای مناسبی را برای تجزیه و تحلیل جامع تر در مورد شناسایی موجودات زنده فراهم کرده است. در این میان نشانگرهای مولکولی مبتنی بر PCR هستند که بر اساس نواحی ریزماهواره‌ای هدف طراحی شده‌اند. چانوزی و همکاران تنوع ژنتیکی  $24 \pm 4$  رقم کلزا بهاره و پاییزه سوئی و نیمه پاییزه چنی را به کمک نشانگرهای ISSR بررسی کردند. تجزیه خوش‌های با استفاده از روش UPGMA بر اساس ۱۲۵ نوار چند شکل تکثیر شده با  $20 \pm 4$  آغازگر، رقم کلزا را به سه گروه منتسب کرد. این مطالعه نشان داد که نشانگرهای ISSR می‌توانند به عنوان

دانه‌های روغنی بعد از غلات دومین منبع مهم تامین انرژی مورد نیاز انسان هستند (۳۴). کلزا (*Brassica napus* L.) یکی از مهم‌ترین گیاهان روغنی جهان محسوب می‌شود و مقام سوم را پس از سویا و نخل روغنی در تامین روغن جهان و ایران دارد (۳۵). دانه‌های کلزا به طور متوسط دارای  $40 \pm 4.5$  درصد روغن بوده و منبع ارزشی برای تامین روغن خوارکی و نیز مصارف صنعتی است (۳۳). با توجه به افزایش روز افزون جمعیت جهان، که تا سال ۲۰۵۰ به  $9 \times 10^9$  نفر خواهد رسید، در آینده امنیت غذایی انسان‌ها مهم‌ترین چالش پیش روی دولتها خواهد بود (۱۲). امنیت غذایی انسان‌ها توسط عوامل مختلفی مانند تنفس‌های زنده و غیر زنده به خطر می‌افتد (۱۵). تنفس شوری از مهم‌ترین تنفس‌های محیطی است که بهره‌برداری کشاورزی را محدود می‌کند (۲۸). خاک‌های شور و شوری آب آبیاری از مهم‌ترین عوامل تنفس زای محیطی در تولید کلزا می‌باشدند (۱۵). شوری از طریق کاهش پتانسیل اسمزی خاک یا تنفس آبی و تنفس یونی سبب کاهش رشد و نمو گیاه می‌گردد. در اثر تنفس یونی حاصل از شوری جذب عناصر و یون‌های ضروری مورد نیاز گیاه مانند کلسیم، منیزیم، فسفر و نیترات کاهش می‌یابد (۸). تاثیرات مضر املاح بر گیاهان نتیجه تلفیق عوامل مختلفی می‌باشد که می‌توان نتیجه آن را در گیاه به صورت کاهش رشد (۱۴) کاهش جذب آب که با کاهش سنتز پروتئین، تعرق، انتقال یون و در نهایت با کاهش محصول مشاهده کرد (۱). افزایش یون سدیم در محیط ریشه سبب کاهش میزان جذب یون پتاسیم و پایین آمدن نسبت پتانسیل به سدیم می‌گردد (۱۳). عدم تعادل عناصر غذایی در بخش هوایی یکی از

سانتی گراد، دمای دوره تاریکی  $18 \pm 3$  درجه سانتی گراد و با طول دوره روشنایی و تاریکی مشخص که تابع طول روز بود، انجام شد. آزمایش به صورت کرت های خرد شده در قالب طرح بلوک های کامل تصادفی در سه تکرار انجام گرفت. بنور هر رقم توسط هیپوکلریت سدیم ۲ درصد به مدت ۱۰ دقیقه ضدغونی شدند. به منظور جوانه زنی یکنواخت، بنور در ظروف پتربی دش حاوی کاغذ صافی مطروب در دستگاه ژرمنیاتور (دمای ۲۵ درجه سانتی گراد و رطوبت ۶۰ درصد) قرار داده شدند. پس از جوانه زنی، بنور با جوانه های یکنواخت به ظروف ۱۲ لیتری حاوی محلول غذایی هوگلنند نصف غلظت (۲۰)، منتقل شدند. برای نگهداری و کشت گیاهچه ها، بذر های جوانه زده، روی سطح تیوب های کوچک که بر روی صفحه یونولیت با ضخامت ۲ سانتی متر واقع در روی ظروف محیط کشت که در زیر آن ها توری تعییه شده بود، قرار داده شدند. برای جلوگیری از خفه شدن گیاهچه ها، محلول غذایی هوگلنند توسط پمپ آکواریوم هواده می شد.

روشی کارآمد و مناسب برای ارزیابی تنوع ژنتیکی ژرم پلاسم کلزا استفاده کردند (۱۷). از نشانگرهای ISSR به عنوان وسیله ای در شناسایی ژنتیک ها و همچنین مطالعه ساختار جمعیتی گونه های گیاهی مانند کلزا (۲۵)، گندم (۳۰) و سیب زمینی (۳۷) استفاده شده است.

هدف از تحقیق حاضر ارزیابی پانزده رقم کلزا از نظر مقاومت به تنش شوری و گروه بندی آن ها بر اساس صفات اندازه گیری شده و همچنین تعیین تنوع ژنتیکی با استفاده از نشانگر ISSR بود.

## مواد و روش ها

در این تحقیق پانزده رقم کلزا از بخش دانه های روغنی موسسه نهال و بذر کرج تهیه شد و از نظر تحمل به تنش شوری در مرحله ی گیاهچه در مهر ماه سال ۱۳۸۹ در گلخانه دانشکده کشاورزی دانشگاه حقوق اردبیلی از طریق کشت هیدروپونیک مورد ارزیابی قرار گرفتند. آزمایش با رطوبت نسبی ۳۸٪ درصد، دمای دوره روشنایی  $20 \pm 5$  درجه

جدول ۱- اسمای ارقام کلزای مورد مطالعه در شرایط تنش شوری

Table 1. The names of studied *Brassica napus* cultivars in salinity stress condition

نام رقم	شماره	نام رقم	شماره
Zarfam	۹	PF	۱
Jewel	۱۰	Hyola 401	۲
Hyola 60	۱۱	Adder	۳
Talaye	۱۲	Licord	۴
Oriente	۱۳	SLM 046	۵
Hyola 308	۱۴	SLM 043	۶
Quantum	۱۵	Okapia	۷
		RGS	۸

کرت اصلی شامل سطوح تنش ۱۵، ۲۵ میلی مولار کلرید سدیم ( $\text{NaCl}$ ) (۶) و شاهد و کرت فرعی شامل ۱۵ رقم کلزا (جدول ۱) بود.

طریق غوطه ور ساختن ریشه در آب مقطر در درون یک استوانه مدرج با حجم ۱۰ سانتی متر مکعب اندازه گیری شد (۴). پس از جدا کردن ریشه ها با استفاده از خط کش بر حسب سانتی متر طول ریشه اندازه گیری شد. جهت محاسبه وزن خشک ریشه و وزن خشک اندام هواپی نمونه ها به مدت ۴۸ ساعت در دمای ۷۲ درجه سانتی گراد قرار داده شد و سپس با استفاده از ترازوی دیجیتالی با دقت ۰/۰۰۱ اندازه گیری شدند. از مجموع وزن خشک ریشه و اندام هواپی، صفت عملکرد بیولوژیک و از تقسیم وزن خشک ریشه به وزن خشک اندام های هواپی، صفت نسبت ریشه به اندام هواپی به دست آمد. برای اندازه گیری سدیم و پتاسیم، نمونه های اندام هواپی کلزا به مدت ۴۸ ساعت در دمای ۷۵ درجه سانتی گراد در آون خشک شد و وزن آن ها اندازه گیری شد. سپس، نمونه های خشک شده گیاهی به وسیله آسیاب به صورت پودر در آمد. یک گرم از پودر حاصل در بوته چینی ریخته شد و در کوره الکتریکی به مدت ۴ ساعت در دمای ۵۵ درجه سانتی گراد خاکستر شد. سپس، خاکستر بدست آمده به وسیله ۱۰ میلی لیتر اسید کلریدریک ۲ مولار عصاره گیری شد و جهت اندازه گیری عناصر پتاسیم و سدیم توسط دستگاه فیلم فتو متر مورد استفاده قرار گرفت (۲۳).

۲۰ روز پس از کشت و در مرحله سه برگ چهاری، تنش شوری با استفاده از کلرید سدیم با مقادیر ۱۵۰ و ۲۵۰ میلی مولار اعمال شد. برای جلوگیری از شوک اسمزی، کلرید سدیم در سه نوبت با مقدار مساوی به گلدان ها اضافه شد. برای این منظور، مقدار نمک مورد نیاز برای رسیدن ۱۲ لیتر محلول هر گلدان به غلظت های مذکور محاسبه شد. کلرید سدیم مورد نیاز به سه قسمت مساوی تقسیم و هر دو روز یک بار به گلدان ها اضافه گردید. ۲۰ روز پس از اعمال تنش شوری نمونه برداری از بخش های مختلف گیاهچه ها به منظور اندازه گیری صفات کلروفیل برگ، سطح ریشه، حجم ریشه، طول ریشه، عملکرد بیولوژیک، نسبت ریشه به اندام هواپی، وزن خشک ریشه، وزن خشک اندام هواپی، اندازه گیری سدیم و پتاسیم انجام شد.

میزان کلروفیل با استفاده از برگ های جوان و توسعه یافته به وسیله دستگاه کلروفیل متر مدل 502-SPAD از کمپانی Konica Minolta اندازه گیری شد. این دستگاه با اندازه گیری طیف جذبی در محدوده نور آبی (۴۰۰-۵۰۰ nm) و در محدوده نور قرمز (۵۰۰-۶۰۰ nm) میزان کلروفیل را به صورت غیر تحریبی تعیین می کند. صفت سطح ریشه با استفاده از روش اتکینسون (۴) برآورد گردید. حجم ریشه از

تنش شوری به غیر از صفت نسبت وزن خشک ریشه به اندام هوایی در بقیه صفات اختلاف معنی داری را در سطح احتمال یک درصد نشان دادند. در حالیکه برهمنکنش شوری در رقم در تمامی صفات غیر معنی دار بود (جدول ۲).

مقایسه میانگین سطوح مختلف شوری با روش حداقل اختلاف معنی دار (LSD) در سطح احتمال پنج درصد نشان داد که بیشترین میزان برای صفات مورد بررسی در سطح شاهد مشاهده شده که با افزایش شوری از میزان وزن تر اندام هوایی و ریشه، وزن خشک اندام هوایی و ریشه، طول ریشه، حجم ریشه، سطح هوایی، عملکرد بیولوژیک و میزان پتانسیم موجود در اندام هوایی به طور چشمگیری کاسته شد، در حالی که، میزان سدیم در اندام هوایی و نیز نسبت سدیم به پتانسیم روند افزایشی را نشان دادند.

نتایج مقایسه میانگین همچنین نشان داد که صفات مقدار کلروفیل و فلوروسانس کلروفیل اختلاف معنی داری را در سطح شوری ۲۵۰ میلی مولار نشان دادند (جدول ۳). یکی از عوامل کاهش کلروفیل افزایش سدیم در اندام های هوایی می باشد که سبب تجزیه کلروفیل در برگ ها می شود (۱۹). غلظت بالای سدیم در برگ ها باعث تخریب سریع تر کلروفیل می شود که برخی آن را ناشی از فعالیت آنزیم کلروفیلاز عنوان کرده اند (۳۹)، بطوریکه برخی از محققین معتقدند که توانایی حفظ کلروفیل در گیاه سبب بهبود وضعیت قدرت رویش گیاهچه در شرایط تنش شوری می شود (۲۲). شوری باعث افزایش یون سدیم در سیتوپلاسم فعالیت های آنزیمی ۵۰ نوع پیش از حد سدیم در سیتوپلاسم یون سدیم در سیتوپلاسم آنزیم که برای فعالیت خود احتیاج به پتانسیم دارند، را مختل می کند. چون، یون سدیم نمی تواند نقش یون پتانسیم را در این آنزیم ها ایفا کند. بنابراین، با افزایش یون سدیم در سیتوپلاسم و برتری این یون در رقابت با یون پتانسیم جهت اتصال به آنزیم های مورد نظر، فعالیت های متabolیسم گیاه دچار اختلال می گردد (۴۴). همچنین، از آثار سوء دیگر تجمع پیش از حد سدیم در سیتوپلاسم، ایجاد اختلال در پکارچگی ساختار و عمل غشا های سلولی می باشد (۴۶). محققین نسبت  $\text{Na}^+/\text{K}^+$  را به عنوان یک پارامتر قابل اطمینان برای تعیین تحمل به تنش شوری در گیاه زراعی کلزا گزارش کرده اند (۱۱). رقم 308 Bیشترین و رقم 60 Hyola Kمترین وزن تر اندام هوایی را داشتند. از نظر صفت وزن خشک اندام هوایی نیز رقم SLMO46 دارای بیشترین میزان این صفت بود. در حالی که، ارقام Hyola60 و Jewel و Licord دارای کمترین میزان وزن خشک اندام هوایی بودند (جدول ۴).

افزایش شوری باعث کاهش مقدار ماده خشک در ارقام مختلف کلزا می شود (۲). کاهش ماده خشک به سبب کاهش سطح برگ گیاه، کاهش فشار آماس سلول و کاهش میزان فتوسترات در شرایط تنش شوری رخ می دهد (۹). محققین میزان تحمل به شوری در کلزا را با مقدار ماده خشک تولیدی در مرحله گیاهچه ای متناسب دانسته اند (۷). بیشترین مقدار صفت وزن تر ریشه مربوط به ارقام PF و SLMO46 و کمترین مقدار آن مربوط به رقم Licord بود (جدول ۴). از نظر وزن خشک ریشه، رقم SLMO46 دارای بیشترین مقدار و ارقام Licord

برای تجزیه مولکولی استخراج DNA به روش CTAB مطابق با روش سقایی معروف و همکاران (۴۱) انجام گرفت. برای تعیین کمیت و کیفیت DNA استخراج شده از الکتروفورز زل آگارز ۸/۰ درصد و دستگاه اسپکتروفوتومتر استفاده شد. رقم Hyola 401 به علت داشتن DNA با کیفیت پایین باندی تولید نکرد. بعد از اطمینان از کمیت و کیفیت بقیه ارقام، DNA های استخراج شده رقیق شدند. برای تکثیر قطعات DNA ژنومی از ۱۱ آغازگر ISSR تهیه شده از شرکت متایرون کره استفاده شد. واکنش زنجیره ای پلیمراز با حجم ۲۰ میکرو لیتر انجام گردید.

چرخه های دمایی و زمانی واکنش PCR شامل: مرحله اول چهار دقیقه واسرشته سازی اولیه ( $94^\circ\text{C}$  دمایی) مرحله دوم ( $94^\circ\text{C}$  دمایی) سیکل شامل ۳۰ ثانیه واسرشته سازی ( $94^\circ\text{C}$  دمایی)، ۳۰ ثانیه اتصال (دمای ۵-۵ $^\circ\text{C}$ -۴۷)، یک دقیقه تکثیر (دمای  $72^\circ\text{C}$ )، مرحله سوم ده دقیقه تکثیر نهایی (دمای  $72^\circ\text{C}$ )، مرحله چهارم پنج دقیقه (دمای  $40^\circ\text{C}$ ) صورت گرفت. سپس محصول PCR بر روی ژل آگارز ۱/۲ درصد الکتروفورز گردید. امتیازدهی نوارها به صورت حضور (۱) و عدم حضور (۰) انجام شد. تعداد نوارهای چند شکل و یک شکل هر آغازگر و میزان تنوع ژنی بین ژنوتیپ ها با استفاده از شاخص تنوع ژنی نی (۳۱) برآورد شد. شاخص اطلاعات شانون ( $H = -\sum f_i \ln f_i$ ) ژنوتیکی بین ژنوتیپ ها با استفاده از فرمول ( $f_i$ ) فراوانی یک نوار ISSR در جمعیت، لگاریتم بر مبنای عدد نپیر (PIC) محسوسه شد. همچنین، محتوای اطلاعات چند شکلی (PIC) و شاخص شانگر (MI) هر آغازگر محسوسه گردید. برای محسوسه PIC از فرمول  $PIC = 2f_i(1-f_i)$  استفاده شد که در آن  $f_i$  فراوانی قطعه (آل) تکثیر شده و  $1-f_i$  فراوانی آل نول (عدم وجود نوار) می باشد (۴۰). شاخص شانگر (MI) از حاصلضرب PIC در تعداد نوارهای چند شکل هر آغازگر بدست آمد (۳۶). گروه بندی ژنوتیپ ها با استفاده از تجزیه خوشه ای به روش دورترین همسایگی و ضریب تشابه  $SM^1$  انجام شد. مناسب بودن روش تجزیه خوشه ای با محاسبه ضریب همبستگی کوفتیک تعیین گردید، که از بین ضرایب تشابه  $SM$ ، جاکارد و دایس، ضریب تشابه  $SM$  بیشترین همبستگی کوفتیک را نشان داد. برای انجام تجزیه های فوق از نرم افزارهای GeneAlex، SPSS v.19، PopGen32 و NTSYS 2.2، 6.4 استفاده گردید.

## نتایج و بحث

تجزیه واریانس صفات به صورت کرت های خرد شده در قالب طرح بلوک های کامل تصادفی صورت گرفت، اما با توجه به این که در صفات مورد مطالعه خطای اول معنی دار نشد، لذا مجدداً تجزیه واریانس به صورت فاکتوریل در قالب طرح بلوک های کامل تصادفی انجام گرفت. تجزیه واریانس صفات اندازه گیری شده نشان داد که اختلاف معنی داری بین ارقام از لحاظ صفات وزن تر اندام هوایی و ریشه، وزن خشک ریشه، حجم ریشه، سطح ریشه در سطح احتمال یک درصد و برای صفات وزن خشک اندام هوایی، طول ریشه و عملکرد بیولوژیک در سطح احتمال پنج درصد وجود داشت. سطوح

شناخته نشده‌اند، اما معلوم شده است که تحمل به شوری تا حد زیادی مربوط به تجمع کم سدیم در بافت گیاه است. برای رسیدن به این ویژگی مهم بایستی ارقام گیاهان زراعی از توانایی بسیار بالایی (ازدیک به ۱۰۰٪) در انتقال مجدد سدیم به بیرون از ریشه برخوردار باشند (۱۸).

افزایش توانایی در جذب انتخابی پتانسیم از محیطی که دارای مقادیر بالای سدیم است، ممکن است اهمیت زیادی در تحمل به شوری داشته باشد (۱۵). رشید و همکاران (۳۸) در بررسی تحمل به شوری ارقام مختلف گندم، افزایش معنی داری در میزان سدیم با افزایش سطوح شوری مشاهده نمود که دارای تنوع ژنتیکی بالایی در جذب سدیم در بین ارقام بود. در جو نیز گزارشاتی مبنی بر افزایش غلظت سدیم بافت بخش هوایی و کاهش میزان پتانسیم محتوی بافت بخش هوایی با افزایش شوری مشاهده شده است (۲۷). در سطح تنفس ۲۵۰ میلی مولار، سه گروه مجزا مشخص شد (شکل ۱ ج)، که در بین آن‌ها گروه اول شامل ارقام RGS، Zarfam، SLMO43، Quantum، SLMO46، PF، SLMO401، Hyola401 (بیشترین مقادیر صفات وزن تر و خشک اندام هوایی و ریشه، حجم و سطح ریشه، طول ریشه، نسبت وزن خشک ریشه به اندام هوایی، فلورورسانس کلروفیل و عملکرد بیولوژیک بود. گروه سوم از لحاظ این صفات پایین‌ترین مقدار را داشت (جدول ۷).

برای بررسی چندشکلی‌های DNA بین ارقام کلزا تعداد ۱۱ آغازگر ISSR جهت بررسی تنوع بین ارقام کلزا استفاده گردید. این آغازگرها در مجموع ۴۵ نوار چندشکل تولید کردند. تعداد قطعات تکثیر شده با آغازگرهای مختلف بسیار متفاوت بود. بدطوری که، آغازگرهای شماره ۱۱، ۱۶ و ۲۲ تنها با دو نوار چندشکل و میانگین درصد چند شکلی ۳۷/۷۸٪ کمترین آغازگر شماره ۸ با ۷ نوار چند شکل و درصد چند شکلی ۷۷/۷۸٪ بیشترین میزان چند شکلی را نشان دادند (جدول ۸). محبوب و همکاران (۲۵) ۳۶ زنوتیپ کلزا را با استفاده از ۱۳ نشانگر ISSR مورد ارزیابی قرار دادند و در مجموع ۲۵۷ مکان چندشکلی مشاهده کردند و نشانگر ISSR را برای شناسایی تفاوت‌های بین گونه‌ای و همچنین داخل گونه‌ای در مطالعات فیلوزنوتیکی و بررسی ساختار ژنتیکی ژنوتیپ‌های کلزا هم‌زمان با بکارگیری صفات مورفولوژیکی پیشنهاد کردند.

به منظور گروه‌بندی ارقام کلزا بر اساس داده‌های ISSR تجزیه خوش‌های بهروش دورترین همسایگی با استفاده از ماتریس شباهت SM انجام شد (شکل ۳). مناسب بودن روش تجزیه خوش‌های با توجه به معنی‌دار بودن ضریب همیستگی کوفتتیک در سطح احتمال یک درصد مشخص شد (۲۸\*).

Adder و Hyola60 کمترین مقدار را از نظر صفت مذکور داشتند (جدول ۴). از جمله دلایلی که می‌توان برای این کاهش وزنی در گیاهان مورد مطالعه بیان نمود، از بین رفتن تعادل یونی و تعادل اسمزی است که از جمله آثار مخرب شوری است و ریشه اولین اندامی است که بهدلیل جذب عناصر به طور مستقیم با تنفس مواجه می‌گردد (۳۵). طول ریشه در مراحل گیاهچه و گیاه كامل با افزایش غلظت شوری بهدلیل کاهش و اختلال در فعالیت‌های زیستی و متabolیسمی کاهش می‌یابد که این امر در گیاهان مختلف نظری گندم گزارش شده است (۲۴). نتایج مقایسه میانگین ارقام نشان داد که بیشترین اندازه طول ریشه و سطح ریشه را رقم SLMO46 و کمترین مقدار طول ریشه را رقم RGS داشت. رقم PF از لحاظ حجم و سطح ریشه بیشترین مقدار، رقم Hyola60 کمترین مقدار سطح ریشه و رقم Licord کمترین مقدار حجم ریشه را داشت. عملکرد بیولوژیک در رقم SLMO46 بالاترین مقدار و در ارقام Licord و Hyola60 کمترین مقدار را داشت. در اکثر مطالعات انجام شده روی کلزا (۲۱) افزایش شوری اثر منفی معنی‌داری بر عملکرد بیولوژیک داشته است که در نتیجه کاهش سطوح فتوسترات کنده و مصرف بیش از حد انرژی در جهت کنترل و کاهش اثر تنفس شوری است. شوری باعث افزایش یون سدیم در اندام هوایی کلزا شد (جدول ۳). در نتیجه سبب کاهش میزان دسترسی گیاهچه‌های کلزا به آب می‌گردد. لذا، تنفس خشکی حاصل از شوری اولین عامل کاهنده رشد گیاه محسوب شده و در ادامه سدیم و کلر در گیاه تجمع یافته و سبب بروز تنفس یونی در گیاه می‌گردد. اشرف (۷) با مطالعه اثر غلظت‌های مختلف شوری در شش گونه براسیکا مشاهده کردند که با افزایش غلظت شوری، میزان غلظت یون سدیم بسیار زیاد و مقدار یون پتانسیم بسیار کم شد. در اثر تنفس یونی جذب عناصر ضروری مورد نیاز گیاه مانند پتانسیم، کلسیم، فسفر، نیترات و منیزیم کاهش می‌یابد. برایند این عوامل منجر به کاهش رشد و تولید ماده خشک می‌گردد.

گروه‌بندی ارقام کلزا با استفاده از تجزیه خوش‌های بر اساس میانگین استاندارد شده صفات مورفولوژیک بهروش Ward در سه سطح شاهد، تنفس شوری ۱۵۰ و ۲۵۰ میلی مولار به طور جداگانه انجام شد (شکل ۱). برای تعیین محل مناسب برای برش نمودار درختی از تجزیه واریانس چند متغیره استفاده شد. در سطوح شاهد، تنفس ۱۵۰ میلی مولار و ۲۵۰ میلی مولار ارقام به سه گروه مجزا تقسیم شدند (شکل ۱).

در سطح شاهد ارقام خوش‌های اول PF و SLMO46 از لحاظ اکثر صفات نسبت به میانگین کل برتری داشتند. میانگین ارقام گروه سوم در اکثر صفات نسبت به تاکنون مکانیسم‌های بیولوژیک و مولکولی در گیاهان مقاوم به شوری به خوبی

جدول ۲- تجزیه واریانس صفات مورد مطالعه کلزا در شرایط تنفس شوری

Table 2. Analysis of variance for studied traits of *Brassica napus* under salinity stress condition

میانگین مریعات

متغیر	ازدیادی	درجه	منابع	وزن تر اندام هواي ريشه	وزن تر اندام هواي	وزن تر اندام	وزن تر اندام هواي ريشه	وزن خشک ريشه (R)	طول ريشه	حجم ريشه	سطح ريشه	R/S	عملکرد بیولوژیك	کلروفیل	Fv/Fm	سدیم پتانسیم	نسبت سدیم به پتانسیم
تکرار	۲			۶/۷۴ns	۶/۱۲۶**	۶/۱۲۶**	۶/۰۸۸ns	۶۲/۶۹**	۰/۰۱۱ns	۰/۰۰۴**	۷/۱۹ns	۰/۱۳ns	۰/۰۰۳ns	۹۶/۴۲**	۰/۰۰۳ns	۰/۰۰۰۴ns	۲/۶۶**
شوری	۲			۶۴۹/۶۲**	۲/۹۸**	۲/۹۸**	۴/۸۸**	۱۰۳۵/۳۱**	۰/۰۳۷**	۰/۰۰۲ns	۱۴۹۳/۰۳**	۰/۰۰۲ns	۰/۰۰۲ns	۱۳۹/۰۶**	۰/۰۰۲ns	۰/۰۰۰۴ns	۴۸/۴۳**
رقم	۱۴			۹/۵۴**	۰/۶۸**	۰/۶۸**	۰/۷۵**	۱۲/۶۵	۰/۰۰۶**	۰/۰۰۱ns	۳۱/۰۷**	۰/۰۰۱ns	۰/۰۰۱ns	۹/۰۹**	۰/۰۰۱ns	۰/۰۰۰۴ns	۰/۰۰۰۴ns
رقم	۲۸			۲/۵۴ns	۰/۰۱۷ns	۰/۰۱۷ns	۰/۰۲۹ns	۳/۸۶ns	۰/۰۰۲ns	۰/۰۰۱ns	۹/۰۸ns	۰/۰۰۱ns	۰/۰۰۱ns	۱۲/۴۶ns	۰/۰۰۰۷ns	۰/۰۰۰۷ns	۰/۰۰۰۷ns
شوری				۳/۷۹	۰/۰۱۶	۰/۰۱۶	۰/۰۳۳	۶/۲۲	۰/۰۰۲	۰/۰۰۱	۹/۶۰ns	۰/۰۰۱ns	۰/۰۰۱ns	۱۲/۴۱	۰/۰۰۰۷ns	۰/۰۰۰۷ns	۰/۰۰۰۷ns
اشتها	۸۸			۲/۹۸	۱۵/۹۹	۱۵/۹۹	۲۸/۴۳	۱۷/۳۵	۸/۹	۰/۰۲	۹/۶۰ns	۰/۰۰۱ns	۰/۰۰۱ns	۱۲/۴۱	۰/۰۰۰۷ns	۰/۰۰۰۷ns	۰/۰۰۰۷ns
ضریب تغییرات																	

\* ns و \*\* : به ترتیب غیرمعنی دار و معنی دار در سطح احتمال ۵ درصد  
نشان دهنده بیشینه کارایی کوانتومی فتوسیستم Fv/Fm و معیاری از نحوه عملکرد فتوسنتز گیاهی است

جدول ۳- مقایسه میانگین بین سطوح شوری و شاهد در ارقام کلزا به روش حداقل اختلاف معنی دار (LSD) (LSD) method

Table 3. Mean comparison of control and salinity levels in *Brassica napus* cultivars using Least Significant Difference (LSD) method

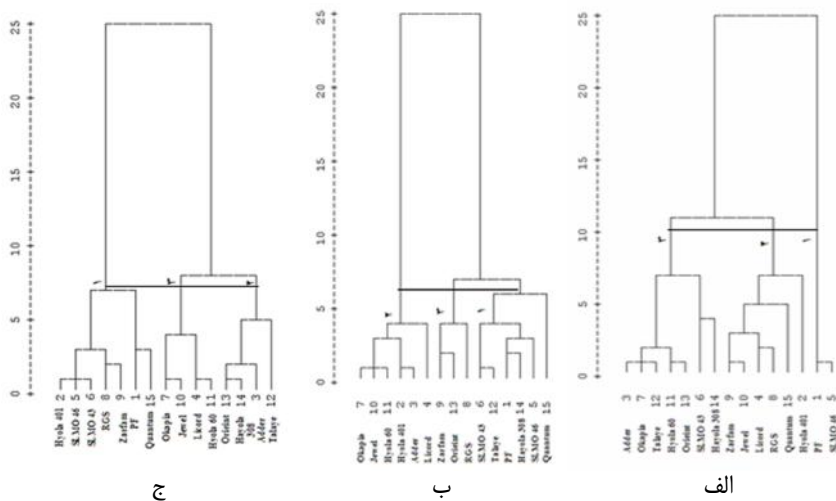
تیمار	وزن تر اندام هواي ريشه (gr)	وزن تر اندام هواي (gr)	وزن خشک ريشه (gr)	طول ريشه (cm)	حجم ريشه (cm³)	سطح ريشه (cm²)	عملکرد بیولوژیك (gr)	کلروفیل 1 FW (gr)	نسبت سدیم به پتانسیم	سدیم (ppm)	پتانسیم (ppm)	Fv/Fm
شاهد	۱/۱۱a	۰/۹۹a	۰/۱۱a	۳۳/۲۳a	۱/۰۷a	۲۰/۸۱a	۱/۰۹a	۳۳/۲۱a	۰/۰۲۴c	۰/۰۷7c	۰/۰۲۲a	۰/۸۲a
۱۵۰ Mm	۰/۶۰b	۰/۸۹b	۰/۰۷b	۴۶/۹۸b	۰/۰۵۹b	۱۴/۰۲b	۰/۰۴b	۳۳/۲۰a	۰/۰۴9b	۳/۹۸b	۱/۲۹c	۰/۰۱a
۲۵۰ Mm	۰/۰۴c	۰/۲۹c	۰/۰۴c	۲۳/۸c	۰/۰۳۰c	۹/۳۵c	۰/۰۳c	۲۴/۱۱b	۰/۰۳۷c	۱۳/۷۹a	۱/۹۲b	۰/۰۵b

تفاوت حروف در هر سوتون نشان دهنده اختلاف معنی دار در سطح احتمال ۵ درصد می باشد

جدول ۴- مقایسه میانگین ارقام مورد مطالعه کلزا از نظر صفات مورفولوژیک با روش حداقل اختلافات معنی دار  
Table 4. Mean comparison of morphological traits in studied *Brassica napus* cultivars using least significant differences method

رقم	وزن تر اندام هوایی (gr)	وزن تر ریشه (gr)	وزن خشک اندام هوایی (gr)	وزن خشک ریشه (gr)	حجم ریشه (cm <sup>3</sup> )	طول ریشه (cm)	سطح ریشه (cm <sup>2</sup> )	عملکرد بیوپوژنیک (gr)
PF	۷/۷۱ <sup>ac</sup>	۱/۰۱ <sup>a</sup>	۰/۷۹ <sup>ab</sup>	۰/۱۰ <sup>ab</sup>	۰/۹۷ <sup>a</sup>	۲۸/۷۷ <sup>ac</sup>	۱۸/۲۳ <sup>a</sup>	-/۸۹ <sup>ab</sup>
Hyola 401	۵/۵۹ <sup>c</sup>	۰/۷۸ <sup>a</sup>	۰/۵۶ <sup>cd</sup>	۰/۰۷ <sup>be</sup>	۰/۷۵ <sup>ad</sup>	۲۶/۸۲ <sup>bc</sup>	۱۵/۲۲ <sup>ad</sup>	-/۶۳ <sup>cd</sup>
Adder	۶/۲۱ <sup>a</sup>	۰/۵۲ <sup>cd</sup>	۰/۵۸ <sup>cd</sup>	۰/۰۵ <sup>de</sup>	۰/۵۱ <sup>ce</sup>	۲۸/-۰۵ <sup>ac</sup>	۱۳/۱۹ <sup>bd</sup>	-/۶۴ <sup>cd</sup>
Licord	۵/۲۸ <sup>ed</sup>	۰/۵۱ <sup>f</sup>	۰/۵۴ <sup>d</sup>	۰/۰۸ <sup>de</sup>	۰/۴۹ <sup>e</sup>	۲۸/۸۸ <sup>ac</sup>	۱۲/۷۶ <sup>cd</sup>	-/۵۹ <sup>cd</sup>
SLMO 46	۷/۱۸ <sup>ab</sup>	۰/۹۵ <sup>a</sup>	۰/۸۲ <sup>a</sup>	۰/۱۰ <sup>a</sup>	۰/۹۳ <sup>ab</sup>	۳۰/۶۱ <sup>a</sup>	۱۸/۱۸ <sup>a</sup>	-/۹۲ <sup>a</sup>
SLMO 43	۶/۵۴ <sup>ac</sup>	۰/۷۷ <sup>ad</sup>	۰/۶۸ <sup>ad</sup>	۰/۰۸ <sup>ac</sup>	۰/۷۳ <sup>ad</sup>	۲۸/۸۵ <sup>ab</sup>	۱۵/۸۴ <sup>ac</sup>	-/۷۶ <sup>ad</sup>
Okapia	۵/۹ <sup>be</sup>	۰/۵۵ <sup>cf</sup>	۰/۵۹ <sup>bd</sup>	۰/۰۹ <sup>de</sup>	۰/۵۲ <sup>ce</sup>	۲۸/۳۳ <sup>ac</sup>	۱۳/۳۸ <sup>bd</sup>	-/۶۳ <sup>cd</sup>
RGS	۶/۱۸ <sup>ac</sup>	۰/۷۵ <sup>ad</sup>	۰/۶۵ <sup>ad</sup>	۰/۰۷ <sup>be</sup>	۰/۷۱ <sup>ae</sup>	۲۶/-۰۳ <sup>c</sup>	۱۴/۷۹ <sup>bd</sup>	-/۷۷ <sup>ad</sup>
Zarfam	۶/۱۴ <sup>ac</sup>	۰/۵۸ <sup>bf</sup>	۰/۶۳ <sup>ad</sup>	۰/۰۵ <sup>ce</sup>	۰/۵۵ <sup>ce</sup>	۲۷/۹۲ <sup>ac</sup>	۱۳/۶۵ <sup>bd</sup>	-/۶۸ <sup>bd</sup>
Jewel	۵/۴۱ <sup>dc</sup>	۰/۵۹ <sup>bf</sup>	۰/۵۴ <sup>d</sup>	۰/۰۷ <sup>ce</sup>	۰/۴۴ <sup>ce</sup>	۲۶/۶۶ <sup>bc</sup>	۱۳/-۰۵ <sup>bd</sup>	-/۶۰ <sup>cd</sup>
Hyola 60	۴/۸۵ <sup>c</sup>	۰/۵۷ <sup>ef</sup>	۰/۵۲ <sup>d</sup>	۰/۰۴ <sup>ce</sup>	۰/۴۸ <sup>de</sup>	۲۶/۷۳ <sup>bc</sup>	۱۲/۳۷ <sup>d</sup>	-/۵۷ <sup>d</sup>
Talaye	۶/۱۶ <sup>ac</sup>	۰/۶۵ <sup>bf</sup>	۰/۶۷ <sup>ad</sup>	۰/۰۳ <sup>be</sup>	۰/۵۳ <sup>bc</sup>	۲۷/۵۹ <sup>bc</sup>	۱۴/۲۹ <sup>bd</sup>	-/۷۴ <sup>ad</sup>
Orieint	۷/۱۲ <sup>ad</sup>	۰/۶۷ <sup>ybf</sup>	۰/۶۳ <sup>ad</sup>	۰/۰۵ <sup>ce</sup>	۰/۵۶ <sup>ce</sup>	۲۷/-۰۳ <sup>b</sup>	۱۳/۷۷ <sup>bd</sup>	-/۶۸ <sup>bd</sup>
Hayola 308	۸/۱۴ <sup>a</sup>	۰/۷۸۵ <sup>ac</sup>	۰/۷۵ <sup>ac</sup>	۰/۰۸ <sup>ad</sup>	۰/۷۶ <sup>ac</sup>	۲۹/-۰۲ <sup>ab</sup>	۱۶/۱۲ <sup>ab</sup>	-/۸۳ <sup>ac</sup>
Quantum	۷/۶۲ <sup>ac</sup>	۰/۷۹ <sup>ab</sup>	۰/۶۳ <sup>ad</sup>	۰/۰۷ <sup>ad</sup>	۰/۷۴ <sup>ac</sup>	۲۸/۷۴ <sup>ac</sup>	۱۵/۹۸ <sup>ac</sup>	-/۷۰ <sup>bd</sup>

تفاوت حروف در هر ستون نشان دهنده اختلاف در سطح احتمال ۵ درصد می باشد



شکل ۱- گروه‌بندی ارقام مختلف کلزا بر اساس صفات فیزیولوژیک و مورفولوژیک به روش Ward در سطح: (الف) شاهد، (ب) شوری ۱۵۰ میلی مولار (ج) شوری ۲۵۰ میلی مولار

Figure 1. Grouping of *Brassica napus* cultivars based on physiological and morphological traits using Ward method at levels of control (A), 150 mM (B) C) and 250 mM salinity

جدول ۵ - میانگین، انحراف از میانگین کل، درصد انحراف از میانگین کل و انحراف استاندارد میانگین‌ها در ۳ خوش‌های براي صفات مورفو‌فیزیولوژیک ارقام کلزا در سطح شاهد

Table 5. Mean, deviation from total mean, standard error of mean in three groups obtained from cluster analysis for morphophysiological traits of *Brassica napus* cultivars at control level

نوبتیم (ppm)	سدیم (ppm)	فلوتورسانس کلروفیل	نسبت سدیم به پتانسیم	کلروفیل (SPAD)	عملکرد بیولوژیک (gr)	R/S	سطح ریشه	طول ریشه (cm)	حجم ریشه (cm <sup>3</sup> )	وزن خشک ریشه (gr)	وزن خشک اندام هوایی (gr)	وزن تر ریشه (gr)	وزن تر اندام هوایی (gr)	رقم	خوش
۳/۲۶	+/-۰۷۷۶	-/۸۲۸	-/+۰۲۵	۳۵/۶۸	۱/۵۳	-/۱۴	۲۷/۸۹	۳۶/۴۹	۱/۷۲	-/۱۸	۱/۳۴	۱/۷۸	۱۲/۷۲	SLMO 46	۱
-/+۰۶	-/-۰۰۰۲	-/۰۰۴	-/+۰۰۱	۱/۴۷	-/۴۴	-/+۰۳	۷/۰۸	۳/۲۶	-/۶۵	-/+۰۷	-/۳۵	-/۶۷	۲/۳۸		انحراف از میانگین
-۱/۸۱	-۰/۲۶	-/۴۹	۴/۱۷	۴/۲۹	۴۰/۳۷	۲۷/۲۷	۳۴/۰۲	۹/۸۱	۶۰/۷۵	۶۳/۶۳	۳۵/۳۵	۶۰/۳۶	۲۳/۰۲		درصد انحراف از میانگین
-/۰۲۲	-/۰۰۰۵	-/۰۰۴	-/+۰۰۹	-/۶۵	-/۰۳۸	-/۰۰۴	-/۵۵	۱/۶۹	-/۰۱	-/۰۰۰۹	-/۰۰۳۷	-/۰۰۹	-/۰۴۸		انحراف استاندارد
۳/۸۷	-/۰۷۷	-/۸۲۷	-/۰۲۲	۳۴/۳۷	-/۹۷	-/۱۲	۱۹/۶۶	۳۲/۳۱	-/۹۹	-/۱۰۳	-/۸۶	۱/۰۳	۹/۵۶	RGS Hyola 401 Licord Zarfam Jewel Quantum	۲
-/۰۳۵	-/۰۰۰۳	-/۰۰۳	-/-۰۰۲	-/۱۶	-/۰۱۲	-/+۰۱	-/۱۵	-/۰۸	-/۰۸	-/۰۰۰۷	-/۰۱۳	-/۰۸	-/۰۷۸		انحراف از میانگین
۱۰/۵۴	-/۳۹	-/۳۶	-/۸۳۳	-/۴۷	-/۱۱/۰۱	۹/۰۹	-۵/۵۳	-/۲۵	-/۷۴۸	-/۶۳۶	-۱۳/۱۳	-۷/۲۱	-/۷۵۴		درصد انحراف از میانگین
-/۰۹۴	-/۰۰۱	-/۰۰۲	-/+۰۰۷	۱/۳۸	-/۰۳	-/۰۱۲	-/۵۹	-/۵۶	-/۰۸۶	-/۰۰۷	-/۰۳۳	-/۰۷۸	-/۰۵۵		انحراف استاندارد
۳/۰۳	-/۰۷۷۲	-/۸۲۱	-/۰۲۶	۳۳/۶۵	۱/۰۹	-/۱۰۲	۱۹/۷۶	۳۳/۰۹	-/۹۵	-/۱	-/۹۹	-/۹۸	۱۰/۳۲	Hyola 60 Talaye Orient Hayola 308 SLMO 43 Okapia Adder	۳
-/۰۲۹	-/-۰۰۰۲	-/-۰۰۳	-/۰۰۲	-/۵۶	-/-۰۰۹	-/-۰۰۸	-/۱۰۵	-/۱۴	-/۱۲	-/۰۰۱	-/۰۰۲	-/۰۱۳	-/۰۰۲		انحراف از میانگین
-۸/۷۳	-۰/۲۶	-۰/۳۶	۸/۲۳	-/۱۶۴	-/۰۸۲	-/۷۲۷	-/۵۰۵	-/۰۴۲	-۱۱/۲۱	-/۰۰۹	-/۰۰۲	-/۰۱۲	-/۰۱۹		درصد انحراف از میانگین
-/۰۴	-/۰۰۰۸	-/۰۰۲	-/+۰۰۳	-/۵۹	-/۰۵	-/۰۰۷	-/۹۵	-/۷۲	-/۰۷۸	-/۰۰۸	-/۴۶	-/۷۸	-/۶۵		انحراف استاندارد
۳/۳۲	-/۰۰۸	-/۸۲	-/۰۲۴	۳۴/۲۱	۱/۰۹	-/۱۱	۲۰/۸۱	۳۳/۲۳	۱/۰۷	-/۱۱	-/۹۹	۱/۱۱	۱۰/۳۴	میانگین کل	

پژوهشنامه اصلاح گیاهان زراعی / سال نهم / شماره ۳۴ / زمستان ۱۳۹۵

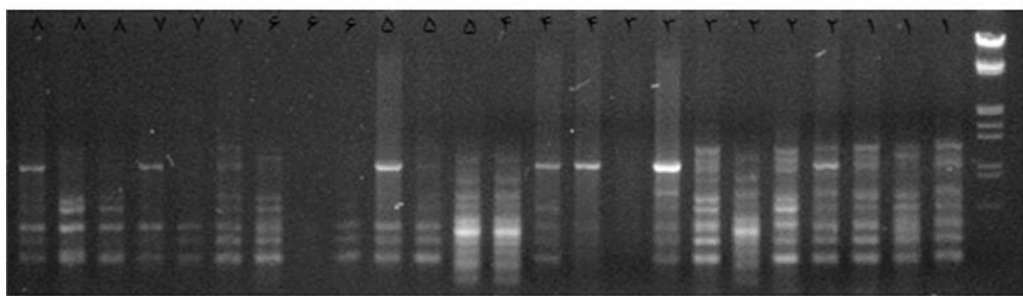
جدول ۶- میانگین، انحراف از میانگین کل و انحراف استاندارد میانگین‌ها در ۳ خوش حاصل از تجزیه خوش‌ای برای صفات مورفوفیزیولوژیک ارقام کلزا در سطح نتش ۱۵۰ میلی‌مولار  
Table 6. Mean, deviation from total mean, standard error of mean in three groups obtained from cluster analysis for morphophysiological traits of *Brassica napus* cultivars at 150 mM salinity stress

نام	ردیف	نوع	جنس	وزن تر اندام هوایی (gr)	وزن تر اندام هوایی (gr)	وزن خشک اندام هوایی (gr)	وزن خشک ریشه هوایی (gr)	حجم ریشه (cm <sup>3</sup> )	طول ریشه (cm)	سطح ریشه	عملکرد بیولوژیک (gr)	کلروفیل (SPAD)	نسبت سدیم به پتاسیم	فلوئورسانس کلروفیل	سدیم (ppm)	پتاسیم (ppm)
میانگین احراف از میانگین درصد	۱/۲۶	SLMO 43 Talaye SLMO 46 PF Hayola308	۰/۰۲	۰/۹۱	۰/۸۰۹	۳/۳۸	۳۳/۲	۰/۷۷	۰/۱۲۵	۱۵/۵۴	۲۷/۴۲	۰/۷۲	۰/۰۸۶	۰/۵۹	۰/۸۱	۷/۷۶
میانگین احراف از میانگین درصد	۱/۲۶	Quantum	۰/۰۷	۰/۰۰۴	۰/۱۱	-۳/۱۵	-۰/۴۹	-۰/۰۱	-۰/۰۰۸	۱/۵۲	-۰/۴۴	-۰/۱۳	-۰/۰۱۶	-۰/۰۹	-۰/۱۲	-۰/۸۵
میانگین احراف از میانگین درصد	۱/۲۶	Okapia Jewel Hyola 60 Hyola401 Adder Licord	۰/۰۹	۰/۱۵	۰/۰۰۴	-۰/۲۸	-۰/۸۸	-۰/۰۲	-۰/۰۰۶	-۰/۵۱	-۰/۳۲	-۰/۰۴۳	-۰/۰۰۳	-۰/۰۱۴	-۰/۳۸	-۰/۳۴
میانگین احراف از میانگین درصد	۱/۲۶	Zarfam	۰/۱۴	۰/۹۴	۰/۸۱۶	۳/۱۷	۳۳/۹۱	-۰/۵۶	-۰/۱۱۳	۱۲/۴۳	۲۶/۷۳	-۰/۴۷	-۰/۰۵۶	-۰/۵	-۰/۵۵	۵/۲۹
میانگین احراف از میانگین درصد	۱/۲۶	Orieint	-۰/۰۴	-۰/۰۰۳	-۰/۳۲	-۰/۷۱	-۰/۱۱	-۰/۰۰۴	-۰/۱۵۹	-۰/۲۵	-۰/۱۲	-۰/۰۱۴	-۰/۰۱	-۰/۰۱۴	-۱/۱۲	-۱/۱۲
میانگین احراف از میانگین درصد	۱/۲۶	RGS	-۰/۰۱	-۰/۳۷	-۹/۱۷	۲/۱۴	-۱۶/۴۲	-۳/۴۲	-۱۱/۳۴	-۰/۹۳	-۲۰/۳۴	-۲۰	-۱۶/۶۷	-۲۰/۲۹	-۱۷/۴۷	-۱/۰۵
میانگین احراف از میانگین درصد	۱/۲۶		-۰/۰۹۷	-۰/۰۰۲	-۰/۲۸	-۰/۷۵	-۰/۰۱	-۰/۰۰۳	-۰/۱۸	-۰/۱۹	-۰/۰۲	-۰/۰۰۲	-۰/۰۱	-۰/۰۲۷	-۰/۱۹	-۱/۰۵
میانگین احراف از میانگین درصد	۱/۲۶		۰/۰۶	۴/۲۴	۰/۸۱۷	۴/۲۲	۳۲/۰۷	-۰/۶۹	-۰/۱۰۷	۱۴/۱۶	۲۶/۵۲	-۰/۶۱	-۰/۰۶۷	-۰/۶۳	-۰/۷۲	۵/۶۴
میانگین احراف از میانگین درصد	۱/۲۶		-۰/۰۲۴	-۰/۰۰۴	-۰/۸۳	-۰/۱۳	-۰/۰۲	-۰/۰۱	-۰/۱۴	-۰/۰۳۶	-۰/۰۲	-۰/۰۰۳	-۰/۰۳	-۰/۰۳	-۰/۰۵۵	-۰/۰۵۵
میانگین احراف از میانگین درصد	۱/۲۶		-۰/۰۶	۶/۵۳	۰/۴۹	۲۳/۷۸	-۰/۴	۲/۹۹	-۸/۵۵	-۰/۹۹	-۱/۴۳	۳/۳۹	-۴/۲۹	۵	۴/۳۵	۸/۵۸
میانگین احراف از میانگین درصد	۱/۲۶		-۰/۰۱	-۰/۰۰۸	-۰/۲۸	-۰/۶۱	-۰/۰۲	-۰/۰۰۸	-۰/۱	-۰/۱	-۰/۰۲	-۰/۰۰۳	-۰/۰۱۹	-۰/۰۴	-۰/۲۹	-۰/۰۶
میانگین کل	۱/۲۹		۰/۹۸	۰/۸۱۳	۳/۴۹	۳۳/۲	-۰/۶۷	-۰/۱۱۷	۱۴/۰۲	-۰/۸۸	-۰/۵۹	-۰/۰۷	-۰/۰۶	-۰/۶۹	۶/۴۱	-۰/۰۶

جدول ۷- میانگین، انحراف از میانگین کل، درصد انحراف از میانگین برای صفات مورفو‌فیزیولوژیک ارقام کلزا در سطح تنش ۲۵۰ میلی‌مولار

Table 7. Mean deviation from total mean, standard error of mean in three groups obtained from cluster analysis for morphophysiological traits of *Brassica napus* cultivars at 250 mM salinity stress stress

خواهش	رقم	وزن تراویحی (gr)	وزن تراهوایی (gr)	اندام هوایی (gr)	وزن خشک ریشه (gr)	حجم ریشه (cm <sup>3</sup> )	طول ریشه (cm)	سطح ریشه	R/S	بیولوژیک (gr)	عملکرد SPAD	کلروفیل	نسبت سدیم به پتاسیم	فلوئورسنس کلروفیل	سدیم (ppm)	پتاسیم (ppm)	
میانگین از میانگین استاندارد	۱	-۰/۳۸	-۰/۳۵	-۰/۳۲	-۰/۳۷	۲۴/۰.۹	۱۰/۳۶	-۰/۱۰	-۰/۴۲	۵/۷۳	۲۴/۱۰	-۰/۷۶	۱۲/۵۹	-۰/۲۹	-۰/۲۹	-۰/۳۷	
انحراف از میانگین		-۰/۵۸	-۰/۰۷	-۰/۰۵	-۰/۰۷	۰/۲۹	-۰/۰۷	-۰/۰۰۳	-۰/۰۱	-۱/۶۲	-۰/۰۱	-۰/۱۲	-۰/۱/۲	-۰/۳۷	Hyola 401	SLMO46	
درصد انحراف از میانگین		۲۱/۱۷	۲۵	۱۵/۱۵	۲۳/۳۳	۱/۲۲	۱۰/۸	۲/۸۳	۱۳/۵۱	-۲۲/۰۴	-۰/۰۰۴	-۱/۳۳	-۸/۷	-۱۹/۲۷	Zarfam PF	Quantum	
انحراف از میانگین استاندارد		-۰/۱۸	-۰/۰۲	-۰/۰۱	-۰/۰۱	-۰/۴۶	-۰/۲۸	-۰/۰۰۶	-۰/۰۱	-۰/۰۰۹	-۰/۰۰۹	-۰/۲۷	-۰/۸۳	-۰/۱۲	RGS	SLMO 43	
میانگین از میانگین استاندارد	۲	-۰/۲۶	۲/۵۹	-۰/۳۱	-۰/۳۱	۰/۳۱	-۰/۰۲	۲۳/۹۳	-۰/۱۰۲	۷/۵۹	۲۴/۴۵	-۰/۷۲	۱۱/۸	۱/۵۸	-۰/۳۴	Orieint	
انحراف از میانگین		-۰/۰۲	-۰/۰۲	-۰/۰۴	-۰/۰۴	-۰/۰۱	-۰/۰۱	-۰/۰۰۴	-۰/۰۰۴	-۰/۰۰۳	-۰/۰۳۴	-۰/۰۰۳	-۰/۱۹۹	-۰/۰۳۴	-۰/۱/۹۹	Hayola 308	Adder
درصد انحراف از میانگین		-۵/۴۷	-۷/۱۴	-۶/۰۶	-۱۱/۴۳	۳/۳۳	-۳/۵۳	-۳/۷۷	-۸/۱	-۲/۲۷	۱/۴۱	-۴	-۱۴/۴۳	-۱۷/۷۱	-۱/۰۹	Talaye	۲
انحراف از میانگین استاندارد		-۰/۲۷	-۰/۰۲	-۰/۰۲	-۰/۰۰۸	-۰/۰۲	-۰/۰۲	-۰/۰۰۸	-۰/۰۰۶	-۰/۰۴	-۰/۰۴۸	-۰/۷۶	-۰/۹۴	-۰/۰۹	-۰/۰۹	استاندارد	
میانگین از میانگین استاندارد	۳	۰/۱۹	۱/۸۷	-۰/۲۷	-۰/۲۷	-۰/۲۲	-۰/۰۲	۲۳/۱۷	-۰/۱۰۲	۸/۱۵	۲۲/۷۹	-۰/۷۶	-۰/۵۶	۱/۹	-۰/۰۲	Okapia	
انحراف از میانگین		-۰/۰۹	-۰/۰۷	-۰/۰۶	-۰/۰۰۸	-۰/۰۰۸	-۰/۰۰۸	-۰/۰۰۸	-۰/۰۰۴	-۰/۰۱	-۰/۰۲	-۰/۰۱	-۰/۱۸۱	-۰/۰۲	-۰/۱/۸۱	Jewel	Licord
درصد انحراف از میانگین		-۳۱/۷۵	-۳۲/۱۴	-۱۸/۱۸	-۲۲/۸۶	-۲۶/۶۷	-۲/۶۵	-۲/۷۷	-۲/۱۳	۱/۰۸	-۱/۰۳	-۱/۰۸	-۱۳/۱۳	-۱/۰۴	-۱۳/۱۳	Hyola 60	
انحراف از میانگین استاندارد		-۰/۱۳	-۰/۰۲	-۰/۰۰۸	-۰/۰۰۲	-۰/۰۰۲	-۰/۰۰۲	-۰/۰۰۰۸	-۰/۰۰۵	-۰/۰۱	-۰/۰۲	-۰/۰۱	-۰/۹۷	-۰/۱	-۰/۹۷	استاندارد	
میانگین کل		۲/۷۴	۰/۲۸	-۰/۳۳	-۰/۰۳۵	-۰/۳	-۰/۰۲۵	۲۳/۸	۹/۲۵	۲۴/۱۱	-۰/۳۷	-۰/۲۵	-۰/۷۵	-۱۳/۷۹	-۱/۹۲		



شکل ۲- الگوی نواربندی آغازگر شماره ۸ در برخی از ارقام کلزای مورد مطالعه (از هر رقم سه نمونه مورد مطالعه قرار گرفته است و اولین ستون سمت راست سایز مارکر SM0191 می‌باشد)

Figure 2. Banding pattern of primer 8 in some of *Brassica napus* studied cultivars (three plants from each cultivar were studied and the right column is the size marker SM0191)

جدول ۸- توالی، مقدار اطلاعات چند شکلی، شاخص نشانگری، شاخص شانون و تعداد نشانگرهای چندشکل تولید شده توسط آغازگرهای ISSR در ارقام مختلف کلزا

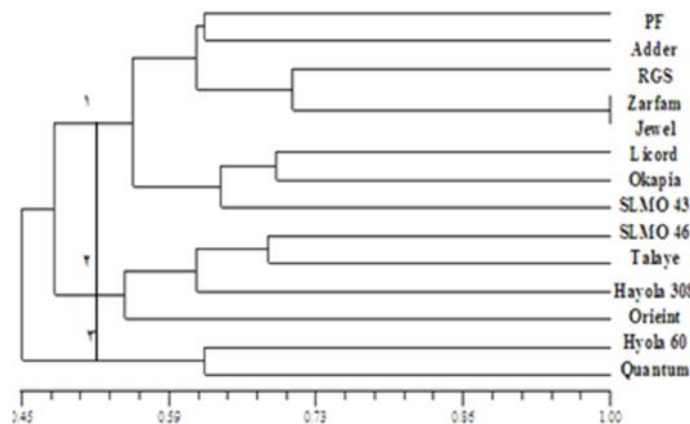
Table 8. Sequences, polymorphic information, Shannon index, the number of polymorphic bands that produced by ISSR primers in *Brassica napus*

شماره نشانگر	توالی آغازگرها	PIC	MI	شاخص شانون	تعداد نوارهای چند شکل	درصد چند شکلی (%)
۱	5'-AGACAGACGC -3'	۰/۲۱۷	۱/۳۰۲	۰/۳۱	۶	۶۶/۶۶
۲	5'-GACAGACAGACAGACA -3'	۰/۱۴۳	۱/۲۵۸	۰/۳۴۹	۶	۷۵
۵	5'-AACAAACAACGG -3'	۰/۲۴۸	۱/۲۴	۰/۲۵۵	۵	۱۱/۱۳
۷	5'-GAGAGAGAGAGAGAT -3'	۰/۲۲۸	۰/۸۸۴	۰/۴۷	۳	۷۵
۸	5'-GACGACGACGGACG -3'	۰/۲۸۱	۱/۹۶۷	۰/۴۰۳	۷	۷۷/۷۷
۱۱	5'-GTGGTGGTTGGC -3'	۰/۳۰۲	۰/۶۰۴	۰/۴۳۲	۲	۴۰
۱۲	5'-TTGTTGTTGTTGC -3'	۰/۳۱۷	۰/۹۵۱	۰/۴۵۵	۳	۶۰
۱۵	5'-ACGACGACGACGAC -3'	۰/۲۸۶	۰/۸۵۸	۰/۴۰۹	۳	۵۰
۱۶	5'-CACACACACACAAG -3'	۰/۷۷	۰/۵۴	۰/۲۸۶	۲	۳۳/۳۳
۲۲	5'-ATGATGATGATGATGATG -3'	۰/۳۴۹	۰/۶۹۸	۰/۵	۲	۴۰
۳۱	5'-CACCACCAACGC -3'	۰/۲۶۵	۰/۱۵۹	۰/۳۷۹	۶	۶۰

شباهت ژنتیکی بین ارقام Zarfam و Jewel (۰/۰۷۹) مشاهده شد. دامنه فواصل ژنتیکی بین ۰/۰۷۹ تا ۰/۳۲۴ متفاوت بود.

به طور کلی نتایج حاصل از این تحقیق نشان داد که ارقام SLMO46 از نظر اکثر صفات مورد مطالعه برتری داشتند. در حالیکه ارقام Licord و Hyola60 در اکثر صفات کمترین مقدار را دارا بودند. بالا بودن معیارهای شاخص نشانگری، شاخص شانون، تعداد و درصد نوارهای چندشکل برای آغازگر هشت نشان دهنده کارایی بالای این آغازگر در تمايز ارقام کلزای مورد مطالعه می باشد. ارقام Quantum و Hyola60 با SLMO46 بيشترین فاصله ژنتیکی را از يكديگر دارا بودند. از اين روي، می توان به عنوان والدين جهت ايجاد تنوع ژنتيکي در نسل هاي در حال تفكيك استفاده کرد.

در اين تجزيه ۱۴ رقم مورد مطالعه به ۳ گروه تقسيم شدند. ارقام Licord، Okapia، SLMO43 و Adder، RGS، Zarfam (PF) در گروه اول و ارقام Hyola308، Talaye، SLMO46، Orieint و ارقام Quantum و Hyola60 در گروه دوم قرار گرفتند. نتایج گروه بندی بر اساس داده های مولکولی و مورفو فيزيولوژيکی در سطح تنش ۲۵۰ ميلی مولار تا حدودی با هم همسوبي داشتند. به طوري که در هر دو گروه بندی Zarfam، RGS و SLMO43 در گروه اول قرار گرفتند. فاصله ژنتيکي بین لايين ها بر اساس فاصله ژنتيکي نيز (۳۲)، محاسبه شد. بيشترین فاصله ژنتيکي بین ارقام SLMO46 و Quantum (۰/۰۳۲۴) و ارقام SLMO46 و Hyola60 (۰/۰۳۲۳) و كمترین فاصله ژنتيکي يا بيشترین



شکل ۳- گروه‌بندی ارقام کلزا مورد مطالعه بر اساس داده‌های مولکولی (ISSR) با استفاده از روش دورترین همسایگی و ماتریس شباهت

Figure3. Grouping of studied *Brassica napus* cultivars based on molecular data (ISSR) using single linkage method and simple machincg similarity matrix

#### منابع

- Abdolzadeh, A. and N. Safari. 2002. Comparison of salt tolerance in eleven varieties of wheat with emphasize on ions accumulation. Agricultural Sciences Natural Resources, 9(2): 95-103 (In Persian).
- Ahmadi, S.H. and J. Niazi Ardekani. 2006. The effect of water salinity on growth and physiological stages of eight Canola (*Brassica napus*) cultivars. Irrigation Sciences, 25(1): 11-20.
- Akbari Ghogdi, E., A. Izadi darbandi, A. Borzooei and A. Majdabadi. 2011. Study of morphological changes in wheat genotypes under salt stress. Science and Technology of Greenhouse Culture, 4(1): 71-82 (In Persian).
- Alizadeh, A. 2010. Soil water plant relationship. 3<sup>th</sup> edn. Imamreza University, Mashad, Iran, 484 pp.
- Archangi, A., M. Khodambashi and A. Mohamadkhani. 2012. The effect of salt stress on morphological characteristics and Na<sup>+</sup>, K<sup>+</sup> and Ca<sup>+</sup> ion contents in medicinal plant fenugreek (*Trigonella foenum graecum* L.) under hydroponic culture. Science and Technology of Greenhouse Culture, 3(10): 33-41.
- Ashraf, M., T. Mcneilly and A.D. Bradshaw. 1985. The Potential for evolution of salt (NaCl) tolerance in seven grass species. New Phytologist, 103(2): 299-309.
- Ashraf, M. 2001. Relationships between growth and gas exchange characteristics in some salt-tolerant amphidiploids *Brassica* species in relation to their diploid parents. Environmental and Experimental Botany, 45(2): 155-163.
- Ashraf, M. 2004. Some important physiological selection criteria for salt tolerance in plants. ScienceDirect, 199(5): 361-376.
- Ashraf, M. and M.R. Foolad. 2005. Pre-sowing seed treatment-a shotgun approach to improve germination growth and crop yield under saline and none-saline conditions. Advan. Agron, 88: 223-271.
- Ashraf, M. and Q. Ali. 2008. Relative membrane permeability and activities of some antioxidant enzymes as the key determinants of salt tolerance in canola (*Brassica napus* L.). Environmental and Experimental Botany, 63(3): 266-273.
- Ashraf Mehrabi, A., M. Omidi and B. Fazeli Nasab, B. 2011. Effects of salinity on seed germination, seedling growth and callus culture of canola genotypes. Journal of Field Crop Science, 42(1): 81-90.
- Azimi, M., M. Khodarahmi and M.R. Jalalkamali. 2012. Evaluation of some important agronomic characteristics in spring bread wheat genotypes under terminal drought stress and non-stress conditions. Iranian Journal of Agronomy and Plant Breeding, 8(1): 175-193 (In Persian).
- Benlloch, M., M.A. Ojeda, J. Ramos and A. Rodrigueznavarro. 1994. Salt sensitivity and low discrimination between potassium and sodium in plants. Plant and Soil, 166(1): 117-123.
- Blumwald, E., S.G. Aharon and M.P. Apse. 2000. Sodium Transport in Plant Cells. Biochimica et Biophysica Acta, 1465(1-2): 140-151.
- Bybordi, A and S.J. Tabatabaei. 2009. Effect of salinity stress on germination and seedling properties in canola cultivars (*Brassica napus* L.). Notulae Botanicae Horti Agrobotanici Cluj-Napoca, 37(1): 71-76.
- Bybordi, A. 2010. Effects of Salinity on Yield and Component Characters in Canola (*Brassica napus* L.) Cultivars. Noulaet Scientia Biologicae, 2(1): 81-83.
- Chaves, M.M., J. Flexas and C. Pinheiro. 2009. Photosynthesis under drought and salt stress: regulation mechanisms from whole plant to cell. Annals of Botany, 103(4): 551-560.

18. Davenport, R., R. James, A. Zakrisson, M. Tester and R. Munns. 2005. Control of sodium transport in durum wheat. *Plant Physiology*, 137(3): 807-818.
19. Dingkuhn, M., S.K. De Datta, R. Pamplona, C. Javellana and H.F. Schnier. 1992. Effect of late-season N fertilization on photosynthesis and yield of transplanted and direct-seeded tropical flooded rice. II. A canopy stratification study. *Field Crop Research*, 28(3): 235-249.
20. Esfandiari, E., F. Shekari, F. Shekari and M. Esfandiari. 2007. The effect of salt stress on antioxidant enzymes activity and lipid peroxidation on the wheat seedling. *Notulae Botanicae Horti Agrobotanici Cluj*, 35(1): 48-56.
21. Francois, L.E. 1994. Growth, seed yield and oil content of canola grown under saline conditions. *Agronomy Journal*, 86(2): 233-237.
22. Francis, D and D Piekielek. 2000. Assessing crop nitrogen needs with chlorophyllmeters. The site specific management guidelines series is published by the potash and phosphate institute (PPI). Coordinated by South Dakota State University (SDSU).
23. Jones, J.B. 2001. Laboratory guide for conduction soil tests and plant analysis. CRC press, LLC, U.S.
24. Kerepesi, H and G. Galiba. 2000. Osmotic and salt stress induced alteration in soluble carbohydrate content in wheat seedling. *Crop Science*, 40(2): 482-487.
25. Mahjoob, B., H. Najafi-Zarini and H.R. Hashemi. 2014. Assessment of genetic relationships among 36 Brassica genotypes using ISSR molecular markers. *Journal of Crop Breeding*, 6(14): 96-106 (In Persian).
26. Marschner, H. 1995. Mineral nutrition of higher plants. Academics Press. London.
27. Mohammad, M., H. Malkawi and R. Shibli. 2003. Effects of arbuscular mycorrhizal fungi and phosphorus fertilization on growth and nutrient uptake of barley grown on soils with different levels of salts. *Journal of plant Nutrition*, 26(1): 125-137.
28. Monirifar, H. 2016. Development and Evaluation of a Synthetic Alfalfa Variety for Tolerance to Salinity. *Journal of Crop Breeding*, 18(8):176-182 (In Persian).
29. Munns, R. 2002. Comparative physiology of salt and water stress. *Plant Cell Environment*, 25(2): 239-250.
30. Nagaoka, T. and Y. Ogihara. 1997. Applicability of inter-simple sequence repeats polymorphism in wheat for use as DNA markers in comparison to RFLP and RAPD markers. *Theoretical and Applied Genetics*, 94(5): 597-602.
31. Nei, M. 1973. Analysis of gene diversity in subdivided populations. *PNAS*, 70(12): 3321-3323.
32. Nei, M. 1978. Estimation of average heterozygosity and genetic distance from a small number of individuals. *Genetics*, 89(3): 583-590.
33. Nemati, M and A. Asghari. 2012. Evaluation of osmotic stress tolerance in hydroponics. *Journal of science and Technology of Greenhouse Culture*, 3(11): 19-30 (In Persian).
34. Nemati, M., A. Asghari, O. Sofalian, A. Rasoulzadeh and H.R. Mohammaddoust Chamanabad. Effect of Water Stress on Rapeseed Cultivars Using Morpho-Physiological Traits and Their Relations with ISSR Markers. 2012. *Journal of Plant Physiology and Breeding*, 2(1):55-66.
35. Penuelas, J., R. Isla, I. Filella and J.L. Araus. 1997. Visible and near-infrared reflectance assessment of salinity effects on barley. *Crop Science*, 37(1): 198-202.
36. Powell, W., M. Morgante and C. Andr. 1996. The comparision of RFLP, RAPD, AFLP and SSR (microsatellite) marker for germplasm analysis. *Molecular Breeding*, 2(3): 225-238.
37. Prevost, A. and M.J. Wilkinson. 1999. A new system of comparing PCR primers applied to ISSR fingerprinting of potato cultivars. *Theoretical and Applied Genetics*, 98(1):107-112.
38. Rashid, A., R.H. Qureshi, P.A. Holington and R.G.W. Jones. 1999. Comparative responses of wheat cultivars to salinity at the seedling stage. *Crop Science*, 182(3): 199-207.
39. Reddy, M.P and A.B. Vora. 1986. Changes in pigments composition, hill reaction activity and saccharine metabolism in Bajra (*Pennisetum typhoides* S&H) leaves under NaCl salinity. *Photosynthetica*, 20: 50-55.
40. Roldan-Ruiz, F.A., T.J. Gilliland, P. Dubreuil, C. Dillmann and J. Lallemand. 2001. A comparative study of molecular and morphological methods of describing relationships between perennial ryegrass (*Lolium perenne* L.) varieties. *Theoretical and Applied Genetics*, 103(8): 1138-1150.
41. Saghai-Marof, M.A., K.M. Soliman, R.A. Jorgensen and R.W. Allard. 1984. Ribosomal DNA spacer-length polymorphisms in barley: Mendelian inheritance chromosomal location, population dynamics. *Proceeding of the National Acadev of Sciences*, 81(24): 8014-8018.
42. Shiran, B., N. Amirkabhtiar, S. Kiani, sh. Mohammadi, E. Sayed Tabatabei and T. Moradi .2007. Molecular characterization and genetic relationship among almond cultivars assessed by RAPD and SSR markers. *Scientia Horticulturae*, 111(5): 280-292.
43. Tarinejad, A., H. Gayomi, V. Rashidi, F. Farahvash and B. Alizade. 2012. Evaluation of Tolerance Rate of Canola Cultivar to Salinity Stress. *Sustainable Agriculture and Production Science*, 22(4.1): 29-43 (In Persian).
44. Tester, M. and R. Dovenport. 2003. Na<sup>+</sup> tolerance and Na<sup>+</sup> transport in higher plants. *Annals of Botany*, 91(5): 503-527.
45. Zhu, J., M.D. Gale, S. Quarrie, M.T. Jackson and G.J. Bryan. 1998. AFLP markers for the study of rice biodiversity. *Theoretical and Applied Genetics*, 96(5): 602-611.
46. Zhu, J. 2003. Regulation of ion homeostasis under salt stress. *Current Opinion Plant Biology*, 6(5): 441-445.
47. Monirifar, H. 2016. Development and Evaluation of a Synthetic Alfalfa Variety for Tolerance to Salinity. *Journal of Crop Breeding*, 18(8):176-182 (In Persian).

## Assesment of Salinity Tolerance in Some Canola Cultivars using Morphophysiologic Traites and ISSR Markers

Ali Asghari<sup>1</sup>, Shiva Mohammadnia<sup>2</sup> and Hajar Fallahi<sup>3</sup>

1- Associate professor, Faculty of Agricultural Sciences, University of Mohaghegh Ardabil,  
(Corresponding Author: ali\_asgharii@yahoo.com)

2 and 3- PHD student and M.Sc. Graduated, Faculty of Agricultural Sciences, University of Mohaghegh Ardabil  
Received: May 17, 2015 Accepted: December 13, 2016

### Abstract

Canola (*Brassica napus L.*) is one of the most important world's oilseed crops. The salin soils and salinity is the most important environmental stress factor that affects production of rapeseed. In order to study salinity resistance in canola cultivars at seedling stage based on morphophysiologal traits and assessing relation of these traits with ISSR markers, 15 canola cultivars in two salinity stress levels (150 mM and 250 mM) and non stress condition (control) were studied at greenhouse condition as hydroponic culture method. In this study, salinity stress caused decreasing of all evaluated morphophysiologal traits, except Na to K ratio and Na content. Results of mean comparisons and classification by cluster analysis of cultivars in different conditions showed that the SLMO46 and PF were better than other cultivars in all traits, was superior for average of most traits. So, the Hyolla60 and Licord cultivars in all traits had lower amounts. In Molecular analysis using 11 ISSR primers, 45 polymorphic bands produced in studied canola cultivars. Means of Polymorphic Information Content and Marker Index for all primers were obtained 0.282 and 1.108, respectively. In cluster analysis using ISSR data and Nei's genetic distance and UPGMA method, the canola cuhtivars classified in three clusters. The minimum genetics distance obtained between Zarfam and Jovel cultivars (0.079) and the maximum distance observed between Quantum and Hyolla60 whit SLMO46 cultivars (0.32).

**Keywords:** Canola, Molecular Markers, morphophysiological trait, salinity, Stres